

УДК 532.536

Костин О. В., соискатель (Орловский государственный университет, г. Орел, Российская Федерация)

ИССЛЕДОВАНИЕ ПЛОСКОПАРАЛЛЕЛЬНОЙ ЗАДАЧИ ЭВОЛЮЦИИ ГРАНИЦЫ РАЗДЕЛА ЖИДКОСТЕЙ В АНИЗОТРОПНОМ ОДНОРОДНОМ СЛОЕ ПОРИСТОЙ СРЕДЫ*

Ставится плоскопараллельная задача эволюции границы раздела жидкостей различных вязкостей в анизотропном однородном слое пористой среды. Эта задача исследуется в случае работы одиночной эксплуатационной скважины.

Ключевые слова: скважина, плоскопараллельная задача, жидкость, вязкость.

* Исследование выполнено при финансовой поддержке РФФИ и Орловской области в рамках научного проекта № 12-01-97522 р_центра

Плоскопараллельная стационарная фильтрация несжимаемой жидкости в недеформируемом анизотропном однородном слое пористой среды (грунте) постоянной толщины с тензором проницаемости $K = (K_{ij})$, $i, j = 1, 2$ может быть описана обобщённым потенциалом φ и функцией тока ψ . Эти функции зависят от декартовых координат x , y , времени t (t – параметр) и удовлетворяют всюду в области фильтрации D (за исключением особых точек течения) системе уравнений [1]:

$$\begin{aligned} K_{11} \frac{\partial \varphi}{\partial x} + K_{12} \frac{\partial \varphi}{\partial y} &= \frac{\partial \psi}{\partial y}, \\ K_{21} \frac{\partial \varphi}{\partial x} + K_{22} \frac{\partial \varphi}{\partial y} &= -\frac{\partial \psi}{\partial x}. \end{aligned} \quad (1)$$

Здесь $\varphi = -(p + \rho\Pi)/\mu$ (p – давление, μ и ρ – динамическая вязкость и плотность жидкости, Π – потенциал массовой силы). Компоненты тензора проницаемости слоя K_{ij} , $i, j = 1, 2$ – постоянные величины.

Система уравнений (1) относится к эллиптическому типу, если компоненты тензора проницаемости удовлетворяют условиям

$$K_{11} > 0, \quad |D_s| = K_{11}K_{22} - \left(\frac{K_{12} + K_{21}}{2} \right)^2 > 0, \quad (2)$$

где $|D_s|$ – определитель симметричной части тензора K .

Поставим плоскопараллельную задачу эволюции границы раздела жидкостей Γ_t на комплексной плоскости $z = x + iy$ (физической плоскости). Граница Γ_t делит область фильтрации D на части D_1 и D_2 ($D = D_1 \cup D_2$). Пусть в области D_1 движется жидкость постоянной вязкости μ_1 и плотности ρ_1 , а в области D_2 – вязкости μ_2 и плотности ρ_2 . Считаем, что при движении одна жидкость полностью замещает другую (модель «поршневого» вытеснения). Течение жидкости в области D описывает обобщённый потенциал $\varphi(z, t)$ и функция тока $\psi(z, t)$, которые удовлетворяют системе уравнений (1).

Считаем, что на границе раздела жидкостей Γ_t капиллярные силы пренебрежимо малы. Тогда условия непрерывности давления и расхода жидкости на этой границе примут вид [1]:

$$\begin{aligned} \mu_1 \varphi^+(z, t) - \mu_2 \varphi^-(z, t) &= (\rho_2 - \rho_1) \Pi(z, t), \\ \psi^+(z, t) &= \psi^-(z, t), \quad z \in \Gamma_t. \end{aligned} \quad (3)$$

Здесь и далее «+» («-») обозначают предельные значения функций при подходе к границе Γ_t со стороны (противоположной стороны) орта нормали \vec{n} (орт \vec{n} направлен внутрь области D_1). Положение границы Γ_t в плоскости z в любой момент времени $t > 0$ задаём параметрическим уравнением (S – параметр)

$$z = z(t, s) \quad (x = x(t, s), \quad y = y(t, s)), \quad z \in \Gamma_t. \quad (4)$$

В начальный момент времени $t = 0$ положение границы Γ_t известно

$$z_0 = z(0, s) \quad (x_0 = x(0, s), \quad y_0 = y(0, s)), \quad z_0 \in \Gamma_0. \quad (5)$$

Дифференциальное уравнение движения границы Γ_t имеет вид [1]

$$\frac{dz}{dt} = \frac{v^+(z,t) + v^-(z,t)}{2}, \quad z \in \Gamma_t. \quad (6)$$

Здесь $v^\pm(z,t)$ – предельные значения комплексной скорости фильтрации $v(z,t) = v_x(x,y,t) + iv_y(x,y,t)$. Компоненты скорости фильтрации v_x и v_y определяют первое и второе уравнения (1) соответственно.

Задача эволюции границы Γ_t ставится в плоскости z следующим образом. Задано положение границы Γ_0 , потенциал массовой силы $\Pi(z,t)$, вязкости μ_1, μ_2 и плотности ρ_1, ρ_2 жидкостей, тензор проницаемости K . Необходимо найти положение границы Γ_t (4) при $t > 0$. Решение задачи состоит в интегрировании системы уравнений (1), (6) при условиях (3) и (5).

Поставленная задача эволюции границы раздела жидкостей решается на вспомогательной плоскости $\zeta = \xi + i\eta$ согласно методу, приведённому в статье [2].

Полагаем, что в каждый момент времени $t \geq 0$ граница раздела жидкостей Γ_t является простой (без самопересечений) гладкой кривой. Следуя [1], на плоскости ζ комплексный потенциал возмущений W_* , как аналитическую функцию в области D' , представим интегралом типа Коши по гладкой кривой Γ'_t :

$$W_*(\zeta, t) = \frac{1}{2\pi i} \int_{\Gamma'_t} \frac{f(\tau, t)}{\tau - \zeta} d\tau, \quad \zeta \in D', \quad (7)$$

где $f(\tau, t)$ – вещественная непрерывная на Γ'_t функция. Продолжив непрерывно комплексный потенциал (7) на кривую Γ'_t получим его предельные значения:

$$W_*^\pm(\zeta, t) = \frac{1}{2\pi i} \int_{\Gamma'_t} \frac{f(\tau, t)}{\tau - \zeta} d\tau \pm \frac{f(\zeta, t)}{2}, \quad \zeta \in \Gamma'_t, \quad (8)$$

где интеграл понимается в смысле главного значения по Коши. Функция (7) удовлетворяет условию в бесконечности [5]. Подставив преде-

льные значения в граничные условия получим, что второе из условий выполняется, а из первого имеем интегральное уравнение для функции $f(\zeta, t)$

$$f(\zeta, t) - \frac{\lambda}{\pi} \int_{\Gamma'_i} f(\tau, t) \Omega(\tau, \zeta) d\ell_\tau = 2\lambda \varphi_0(\zeta, t), \zeta \in \Gamma'_i \quad (9)$$

Где
$$\Omega(t, \zeta) = \frac{\partial}{\partial \ell_\tau} \left[\arg(\tau - \zeta) - \sqrt{|D_a|/|D_s|} \ln|\tau - \zeta| \right],$$

$\lambda = (\mu_2 - \mu_1)/(\mu_2 + \mu_1)$, $\lambda \in (-1, 1)$. Используя формулу

$$v(\zeta, t) = 2 \left[\sqrt{|D_s|} - i\sqrt{|D_a|} \right] \frac{\partial \varphi(\zeta, t)}{\partial \bar{\zeta}} = -2i \frac{\partial \psi(\zeta, t)}{\partial \bar{\zeta}}, \quad (10)$$

где $2\partial/\partial \bar{\zeta} = \partial/\partial \xi + i\partial/\partial \eta$ и выражение (7), находим предельные значения сопряжённой скорости возмущений [1]

$$\bar{v}_*^\pm(\zeta, t) = \frac{|D|}{\sqrt{|D_s|}} \left[\frac{1}{2\pi i} \int_{\Gamma'_i} \frac{\partial f(\tau, t)}{\partial \tau} \frac{d\tau}{\tau - \zeta} \pm \frac{\partial f(\zeta, t)}{\partial \zeta} \right], \quad \zeta \in \Gamma'_i. \quad (11)$$

Дифференциальное уравнение движения границы Γ'_i примет вид

$$\frac{d\bar{\zeta}}{dt} = (1 - |\kappa|^2) \left[\bar{v}_0(\zeta, t) + \frac{|D|}{2\pi\sqrt{|D_s|}i} \int_{\Gamma'_i} \frac{\partial f(\tau, t)}{\partial \tau} \frac{d\tau}{\tau - \zeta} \right], \quad \zeta \in \Gamma'_i. \quad (12)$$

Из уравнения (12) следуют два дифференциальных вещественных уравнения движения границы Γ'_i на вспомогательной плоскости ζ :

$$\begin{aligned} \frac{d\xi}{dt} &= (1 - |\kappa|^2) v_{0\xi} + (1 - |\kappa|^2) \frac{|D|}{2\pi\sqrt{|D_s|}} \int_{\Gamma'_i} \frac{\partial f(\tau, t)}{\partial \ell_\tau} \left[\frac{\partial \arg(\tau - \zeta)}{\partial \ell_\tau} \cos \alpha - \frac{\partial \ln|\tau - \zeta|}{\partial \ell_\tau} \sin \alpha \right] d\ell_\tau, \\ \frac{d\eta}{dt} &= (1 - |\kappa|^2) v_{0\eta} + (1 - |\kappa|^2) \frac{|D|}{2\pi\sqrt{|D_s|}} \int_{\Gamma'_i} \frac{\partial f(\tau, t)}{\partial \ell_\tau} \left[\frac{\partial \arg(\tau - \zeta)}{\partial \ell_\tau} \sin \alpha + \frac{\partial \ln|\tau - \zeta|}{\partial \ell_\tau} \cos \alpha \right] d\ell_\tau, \end{aligned} \quad (13)$$

$$\zeta = \xi + i\eta \in \Gamma'_i.$$

Здесь $v_0(\zeta, t) = v_{0\xi}(\xi, \eta, t) + i v_{0\eta}(\xi, \eta, t)$ – невозмущённое поле скоростей потенциала W_0 , α – угол между ортом касательной к Γ'_i и осью $O\xi$.

Исследование задачи эволюции границы раздела жидкостей разли-

чных вязкостей в случае анизотропного однородного слоя пористой среды сводится к решению системы уравнений (9), (13) при заданном начальном условии.

Следуя [5], систему уравнений (9) и (13) решается численно на основе метода дискретных особенностей

Исследуем эволюцию границы раздела жидкостей различных вязкостей к скважине, расположенной в анизотропном однородном слое грунта на плоскости z . Течение жидкости создаёт эксплуатационная скважина дебита q , которая расположена в начале координат (рис. 1). Её работу моделируем точечным стоком мощности $-q$ (q – модуль мощности). Полагаем, что граница Γ_0 – окружность радиуса R , центр которой находится в центре скважины. Уравнение окружности $x^2 + y^2 = R^2$. Внутри окружности Γ_0 находится область D_2 , содержащая жидкость вязкости μ_2 , а вне – область D_1 , занятая жидкостью вязкости μ_1 . Контур скважины на физической плоскости представляет собой окружность малого радиуса R_c ($R_c \ll R$) с центром в точке расположения скважины.

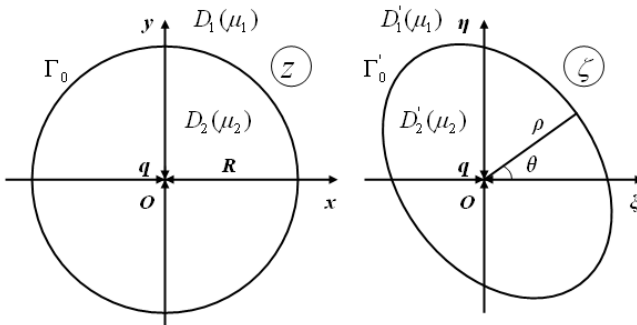


Рис. 1. Постановка задачи

Для модели «разноцветных» жидкостей время достижения границей Γ_t скважины определяется по формуле

$$T = \frac{\pi}{q} \frac{(1 - |k|)R^2 - (1 + |k|)R_c^2}{1 + |k|}. \quad (14)$$

Так как $R_c \ll R$, то пренебрегая слагаемым $(1 + |k|)R_c^2$ в (14), получим известную формулу $T = \frac{1 - |\kappa|}{1 + |\kappa|} \frac{\pi R^2}{q}$ [3]. В качестве характерного размера выберем радиус окружности Γ_0 ($R = 1$). За характерное время примем время (14) в случае изотропного грунта ($|\kappa| = 0, T_0 = \frac{\pi R^2}{q}$). Тогда при расчётах следует положить $q = \pi$.

$$\text{Введём параметры } \alpha = \frac{K_{22}}{K_{11}}, \beta = \frac{K_{12} + K_{21}}{2K_{11}}, \gamma = \frac{K_{12} - K_{21}}{2K_{11}}.$$

Параметр $\alpha \in (0, +\infty)$ характеризует различие компонент тензора проницаемости, расположенных на главной диагонали, параметр β показывает наличие в тензоре проницаемости компонент K_{12} и K_{21} , а параметр γ характеризует различие компонент K_{12} и K_{21} . Учитывая, что $\kappa = [K_{22} - K_{11} - i(K_{12} + K_{21})] / (K_{22} + K_{11} + 2\sqrt{|D_s|})$, имеем $|k| = \frac{\sqrt{(\alpha - 1)^2 + 4\beta^2}}{\alpha + 1 + 2\sqrt{\alpha - \beta^2}}$, при этом должно выполняться условие

$$\beta^2 < \alpha.$$

Исследуем зависимость времени T достижения границей скважины от параметров α , β и γ .

Пусть параметры α и β остаются неизменными, а γ изменяется от 0 до 1. Тем самым исследуем зависимость времени достижения скважины от различия компонент K_{12} и K_{21} . Положим $\alpha = 2$ ($K_{11} = 1, K_{22} = 2$), $\beta = 1$ (K_{12} и K_{21} варьируются от 0 до 1 так, чтобы их сумма была постоянной).

В случае модели «разноцветных жидкостей» ($\lambda = 0$) время T не зависит от параметра γ , что согласуется с результатами исследований. Когда же вязкости жидкостей в областях D_1 и D_2 различны, то время достижения границей скважины зависит от γ . На рис. 2 пока-

заны графики зависимости времени T от γ при $\lambda = 0$, $\lambda = 0.5$ и $\lambda = -0.5$. Из графиков видно, что при $\lambda = 0.5$ время уменьшается с ростом параметра γ , что объясняется «закруткой» границы при приближении её к скважине и изменением направления «прорыва». При $\lambda = -0.5$ время достижения границей скважины увеличивается по сравнению с $\gamma=0$, что вызвано изменением направления прорыва границы при увеличении γ и различием вязкостей, соответственно можно сделать вывод, что в данном случае влияние анизотропии проявляется в большей мере, чем при $\lambda = 0,5$.

Исследуем влияние вязкости жидкостей на продвижение границы Γ_t .

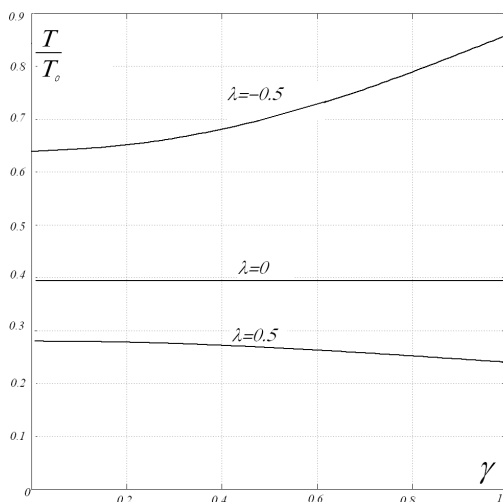


Рис. 2. Зависимость времени T от параметра γ

В момент времени T , когда вытесняющая жидкость попадает в скважину, скважину отключают. При этом важно знать объём и конфигурацию целика не извлечённой жидкости, для того чтобы знать, как дальше эксплуатировать месторождение.

Так как исследуется слой толщины $H=1$, то объём не извлечённой жидкости совпадает с площадью целика. На рисунках 3-5 построены целики не извлечённой жидкостей для различных значений параметра λ при $\alpha = 2$ ($K_{11} = 1$, $K_{22} = 2$), $\beta = 1$, $\gamma = 1$ ($K_{12} = 2$, $K_{21} = 0$).

Видим, что с уменьшением λ площадь оставшегося целика уменьшается. На рис. 3 показана эволюция границы Γ_t при $\lambda = 0$, $K_{11} = 1$, $K_{22} = 2$, $K_{12} = 2, K_{21} = 0$. В этом случае время $T = 0,394$. На рис. 4 показана эволюция границы Γ_t при $\lambda = 0,5$, $K_{11} = 1$, $K_{22} = 2$, $K_{12} = 2, K_{21} = 0$. В этом случае время $T = 0,24$. Картина течения похожа на случай $\lambda = 0$, но стягивание происходит быстрее. Это согласуется с результатами работы [4]. На рис. 5 показана эволюция границы Γ_t при $\lambda = -0,5$, $K_{11} = 2$, $K_{22} = 1$, $K_{12} = 2, K_{21} = 0$. В этом случае время $T = 0,416$. Картина течения похожа на случай $\lambda = 0$, но стягивание происходит медленнее. Процесс вытеснения в этом случае неустойчив. На границе возникают возмущения, которые удаётся сгладить интерполяцией положения границы линейными сплайнами и её переразбиением. При $\lambda \rightarrow -1$ неустойчивость движения границы усиливается.

Зная время T вычислим площадь S оставшегося целика. Для этого воспользуемся уравнением неразрывности, которое в нашем случае примет вид: $S_{ocm} = S_0 - S_T$, где $S_0 = \pi R^2$ и $S_T = Q \cdot T$ – площади первоначального месторождения и извлечённой за время T жидкости, S_{ocm} – площадь целика вытесняющей жидкости, оставшейся в момент времени T . Разделив на S_0 и умножив на 100% правую и левую часть последнего уравнения получим $\eta = \frac{S_{ocm}}{S_0} \cdot 100\% = (1 - \frac{S_T}{S_0}) \cdot 100\%$.

Полученный параметр η показывает процент жидкости не извлечённой из месторождения. В таблице приведены полученные значения η для различных λ, β и γ при $\alpha = 2$.

Таблица

Влияние параметров на относительный объём не извлечённой жидкости

λ	0.5	0.25	0	-0.25	-0.5
$\alpha = 2, \beta = 0, \gamma = 0$	45.5%	38.2%	29.2%	17.9%	8.9%
$\alpha = 2, \beta = 1, \gamma = 0$	72%	67.4%	60.6%	51.3%	36.1%
$\alpha = 2, \beta = 1, \gamma = 1$	76%	71%	60.6%	40.4%	14.1%

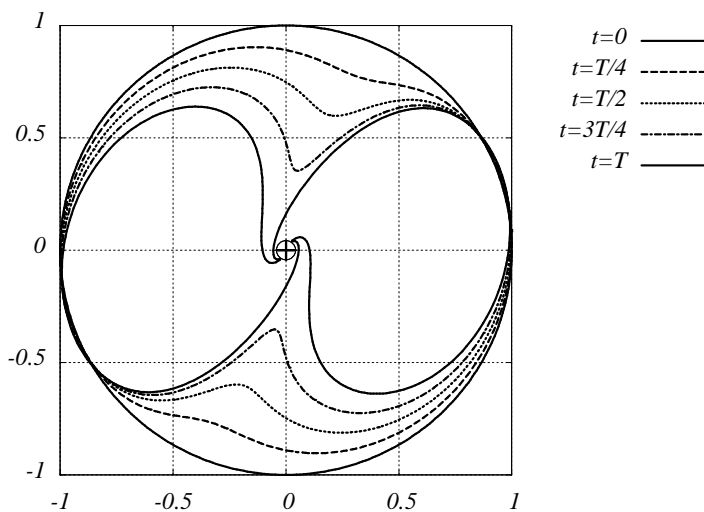


Рис. 3. Еволюція границі розділа жидкостей при $\lambda = 0$

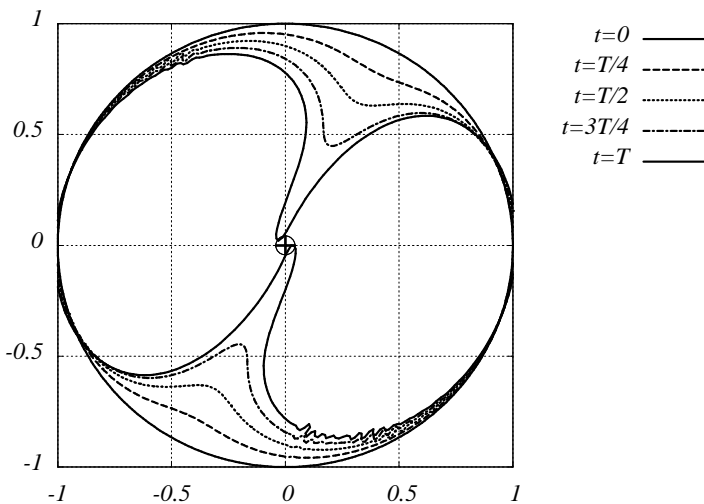


Рис. 4. Еволюція границі розділа жидкостей при $\lambda = 0,5$

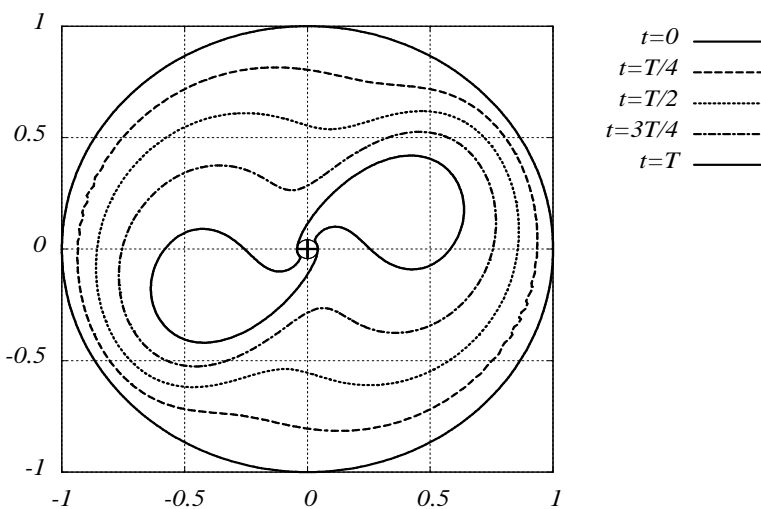


Рис. 5. Эволюция границы раздела жидкостей при $\lambda = -0,5$

Выводы. Из таблицы и графиков видно, что различие вязкостей жидкостей λ и наличие недиагональных компонентов K_{12} и K_{21} тензора K сильно влияет на объём жидкости извлечённой из месторождения. Причём коэффициент β влияет гораздо сильнее, чем γ , который заметно проявляет своё влияние лишь при $\lambda < 0$.

1. Пивень В. Ф. Двумерная задача эволюции границы раздела жидкостей в анизотропном слое пористой среды [Текст] / В. Ф. Пивень // Труды Международных школ-семинаров «Методы дискретных особенностей в задачах математической физики» / ГОУ ВПО «Орловский государственный университет». – 2009. – Вып. 7. – С. 81-91.
2. Федяев Ю. С. Математическое моделирование плоскопараллельной эволюции границы раздела жидкостей в однородном анизотропном слое пористой среды. [Текст] / Ю. С. Федяев // Труды Международных школ-семинаров «Методы дискретных особенностей в задачах математической физики» / ГОУ ВПО «Орловский государственный университет». – 2010. – Вып. 8. – С. 93-104.
3. Пивень В. Ф., Федяев Ю. С. Математическое моделирование эволюции границы раздела «разноцветных» жидкостей в анизотропном однородном слое пористой среды // Ученые записки Орловского государственного университета, 2010. – № 2(36). Серия: Естественные, технические и медицинские науки. – С. 49-55.
4. Никольский Д. Н. Математическое моделирование эволюции границы раздела жидкостей в анизотропном слое пористой среды // Ученые записки Орловского государственного университета, 2010. – № 2(36). Серия: Естественные, технические и медицинские науки. – С. 56-60.

рование работы системы скважин в однородных и неоднородных слоях с подвижной границей раздела жидкостей различной вязкости. Дис. ... канд. физ.-мат. наук: 05.13.18. – Орёл, 2001. – 191 с. 5. Пивень В. Ф., Костин О. В. Исследование плоскопараллельной задачи эволюции границы раздела жидкостей в анизотропной однородной пористой среде // Ученые записки Орловского государственного университета, 2012. № 6 (50). Серия: Естественные, технические и медицинские науки. – С. 64-71.

Рецензент: д.т.н., профессор Бомба А. Я. (НУВХП)

Kostin O. V., Applicant (Orel State University, Orel, Russian Federation)

RESEARCH OF PLANE-PARALLEL PROBLEM OF THE EVOLUTION OF INTERFACES BETWEEN FLUIDS IN ANISOTROPIC HOMOGENEOUS LAYER OF POROUS MEDIUM

We pose the problem of plane-parallel evolution of the interface between fluids of different viscosities in anisotropic homogeneous layer of porous medium. This problem is investigated in case of a single production well.

Keywords: well, a plane-parallel evolution, fluid, viscosity.

Костін О. В., здобувач (Орловський державний університет, м. Орел, Російська Федерація)

ДОСЛІДЖЕННЯ ПЛОСКОПАРАЛЕЛЬНОЇ ЗАДАЧИ ЕВОЛЮЦІЇ ГРАНИЦІ РОЗДІЛУ РІДИН В АНІЗОТРОПНОМУ ОДНОРІДНОМУ ШАРІ ПОРИСТОГО СЕРЕДОВИЩА

Ставиться плоскопаралельна задача еволюції границі розділу рідин різних вязкостей в анизотропному однорідному шарі пористого середовища. Це завдання досліджується у випадку роботи одиночної експлуатаційної свердловини.

Ключові слова: свердловина, плоскопаралельна задача, рідина, в'язкість.
